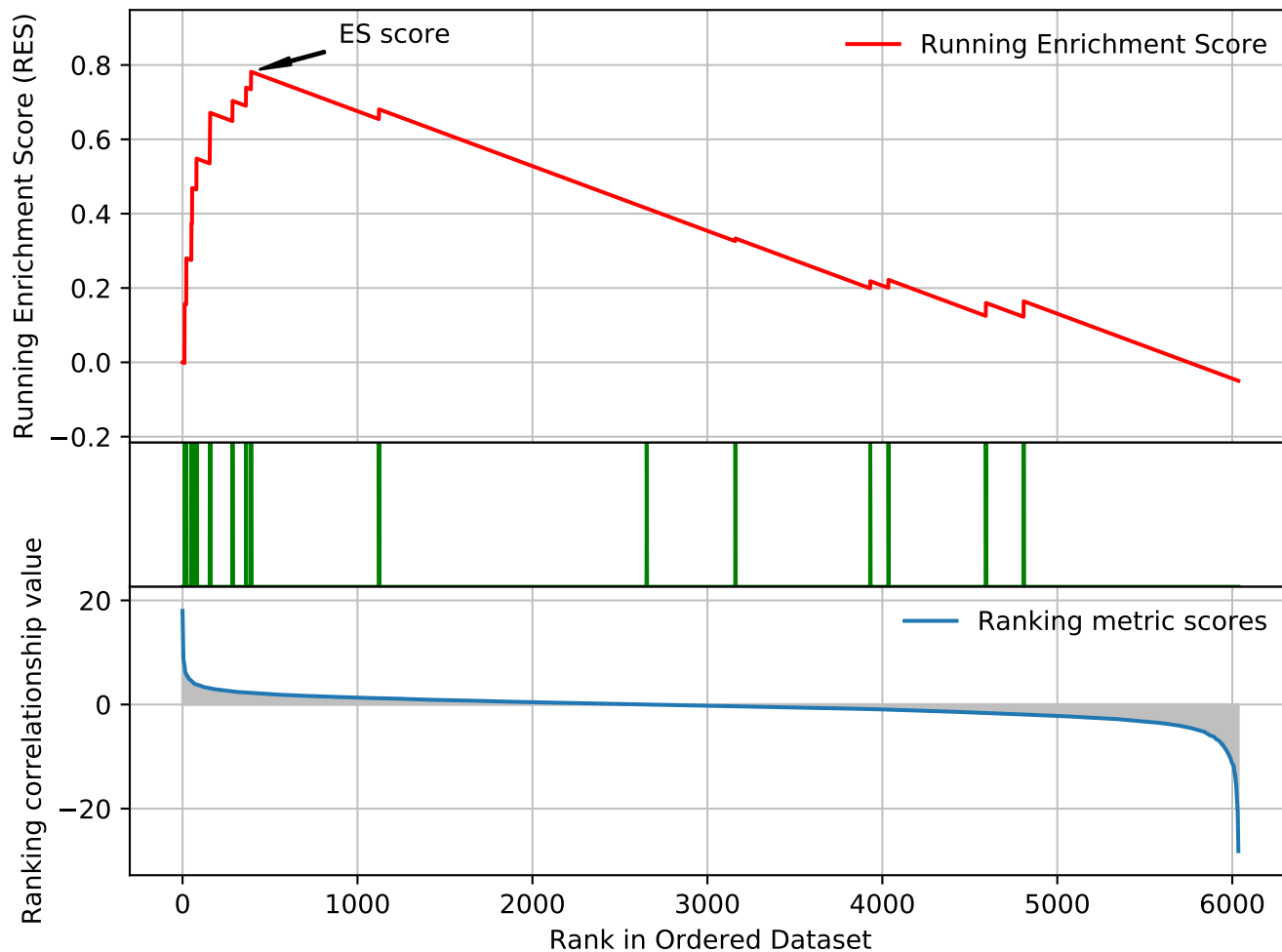
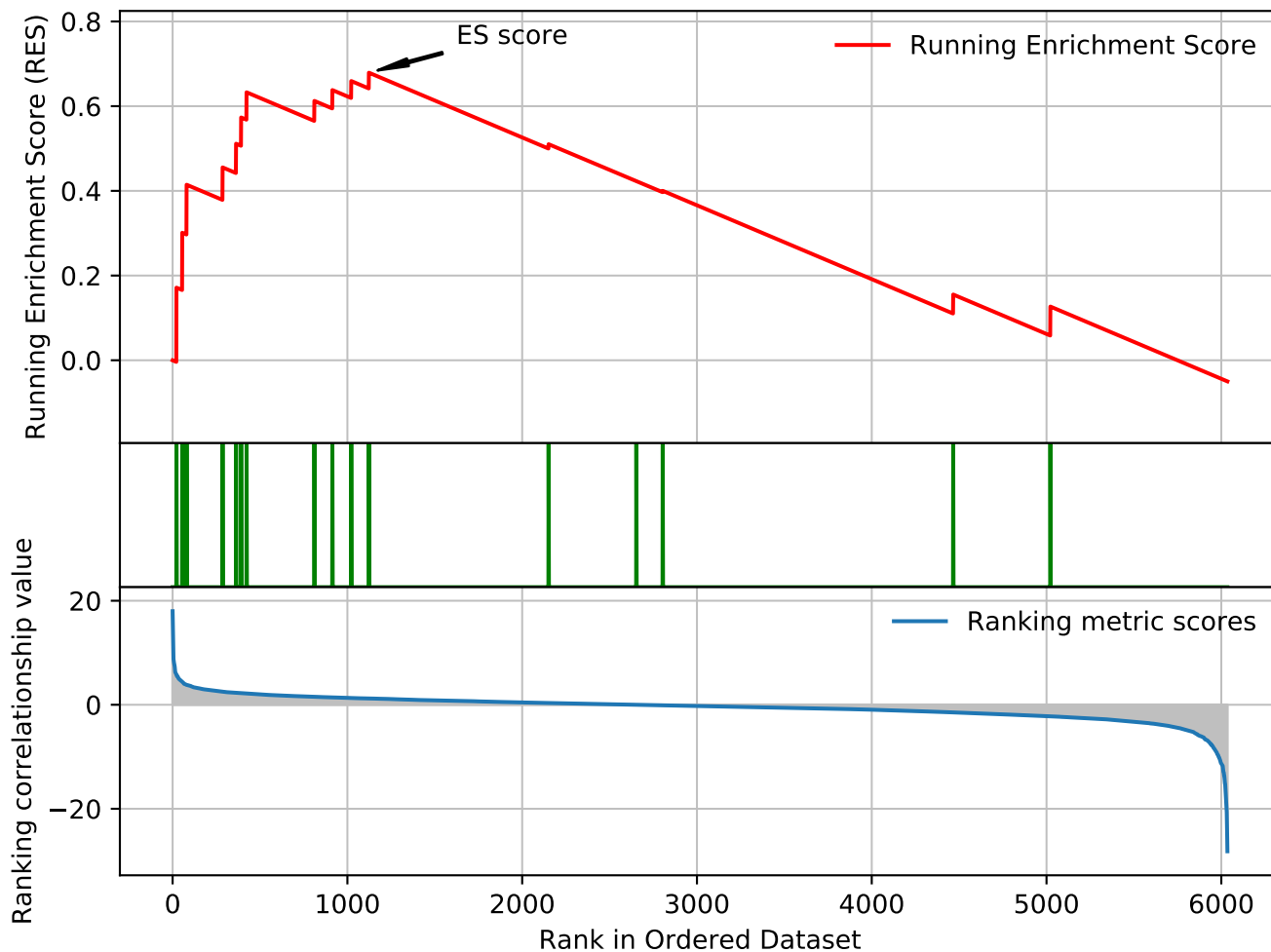


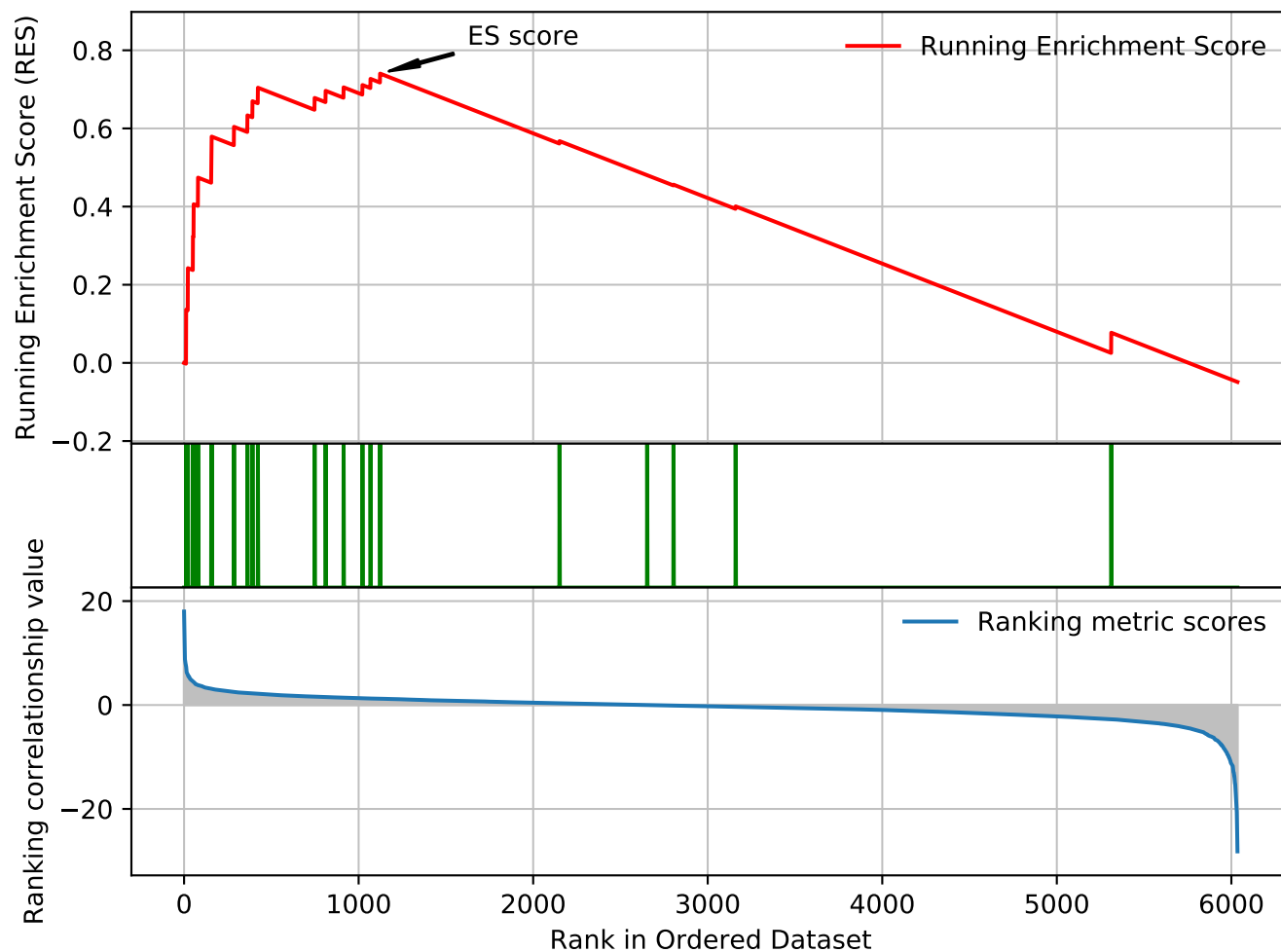
# AMB sce00100 (Steroid biosynthesis) GSEA\_Results



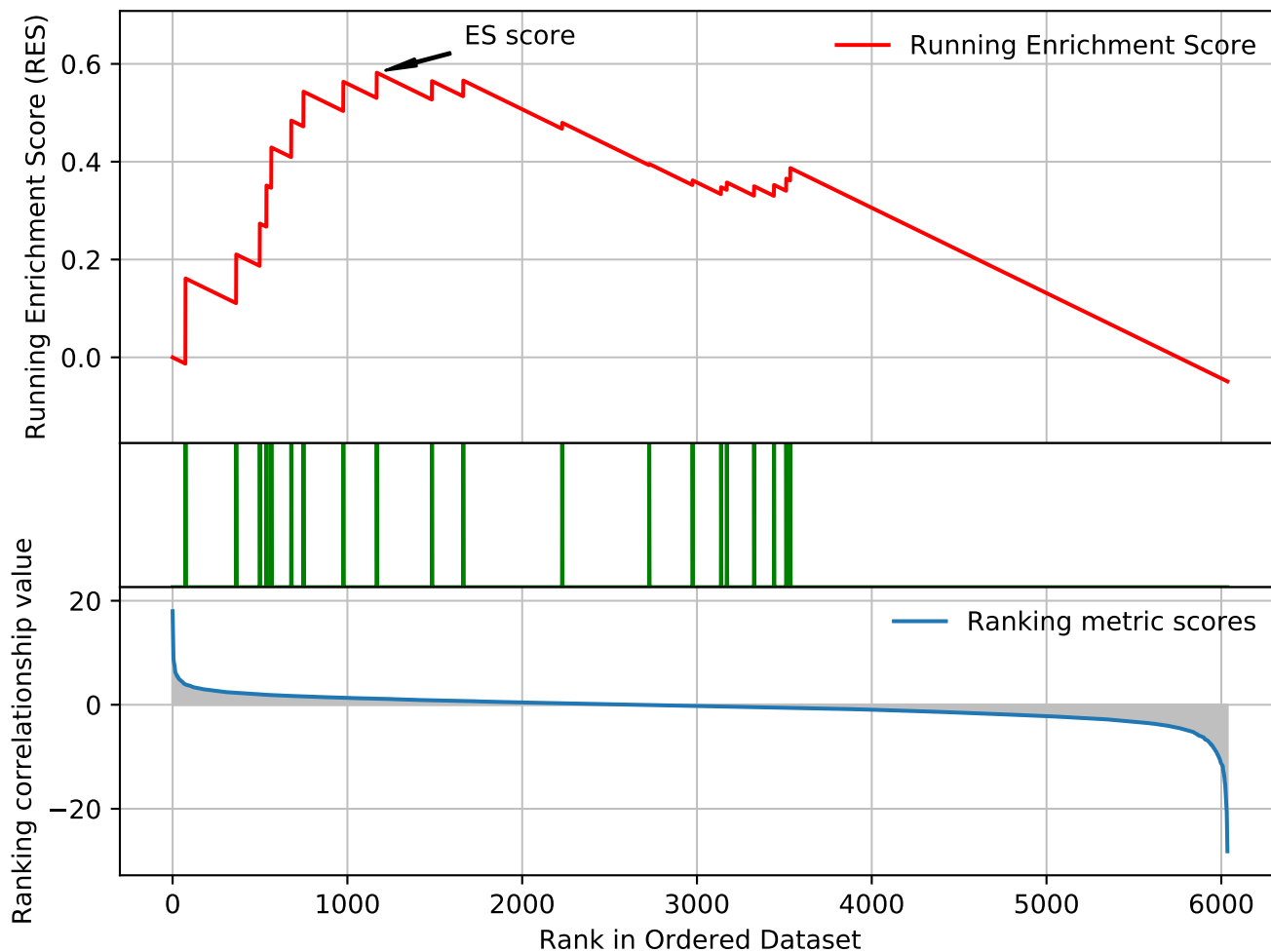
# AMB R-SCE-191273 (Cholesterol biosynthesis) GSEA\_Result



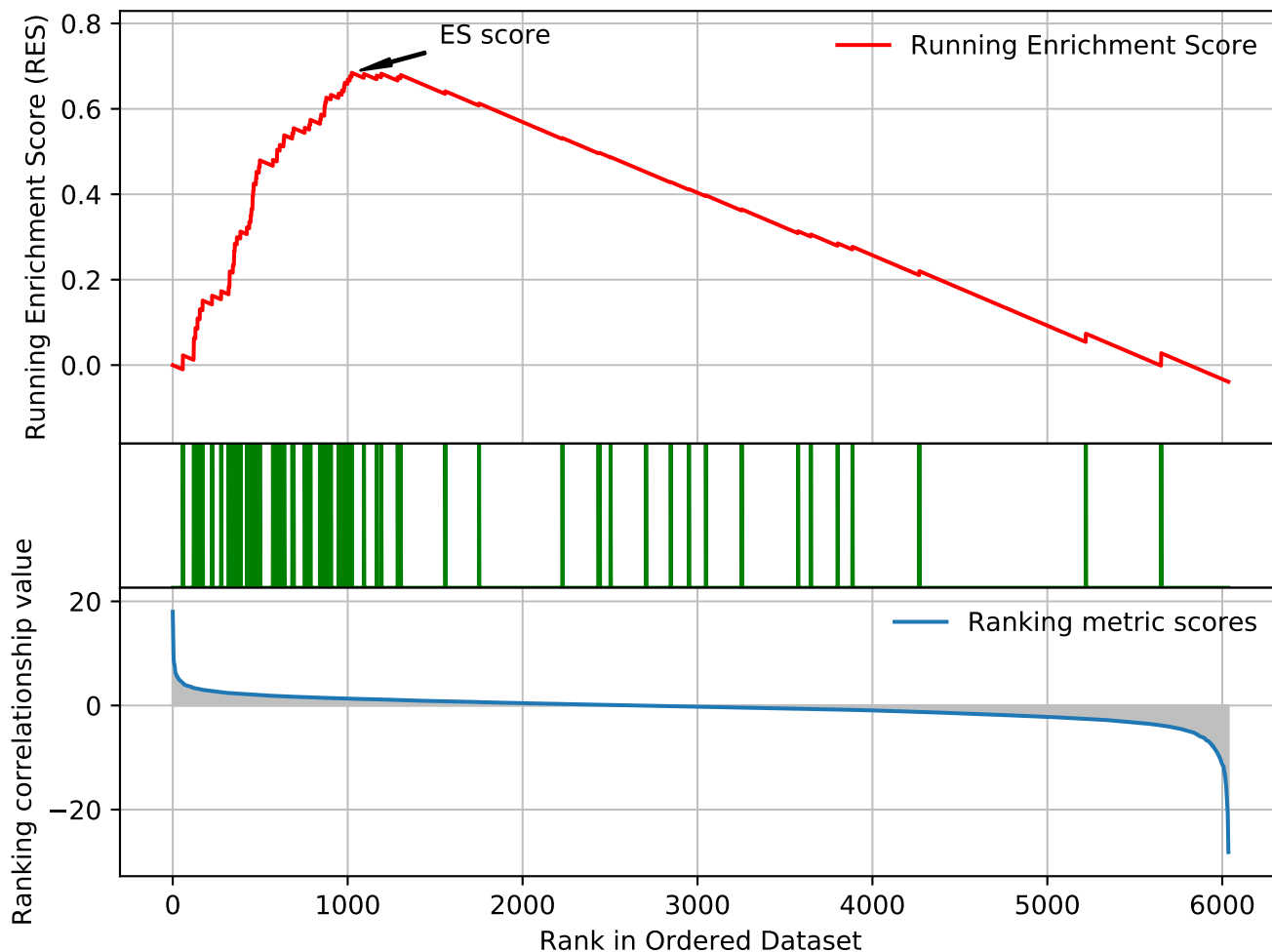
# ERGOSTEROL-SYN-PWY (superpathway of ergosterol biosynthesis) GSEA\_Results



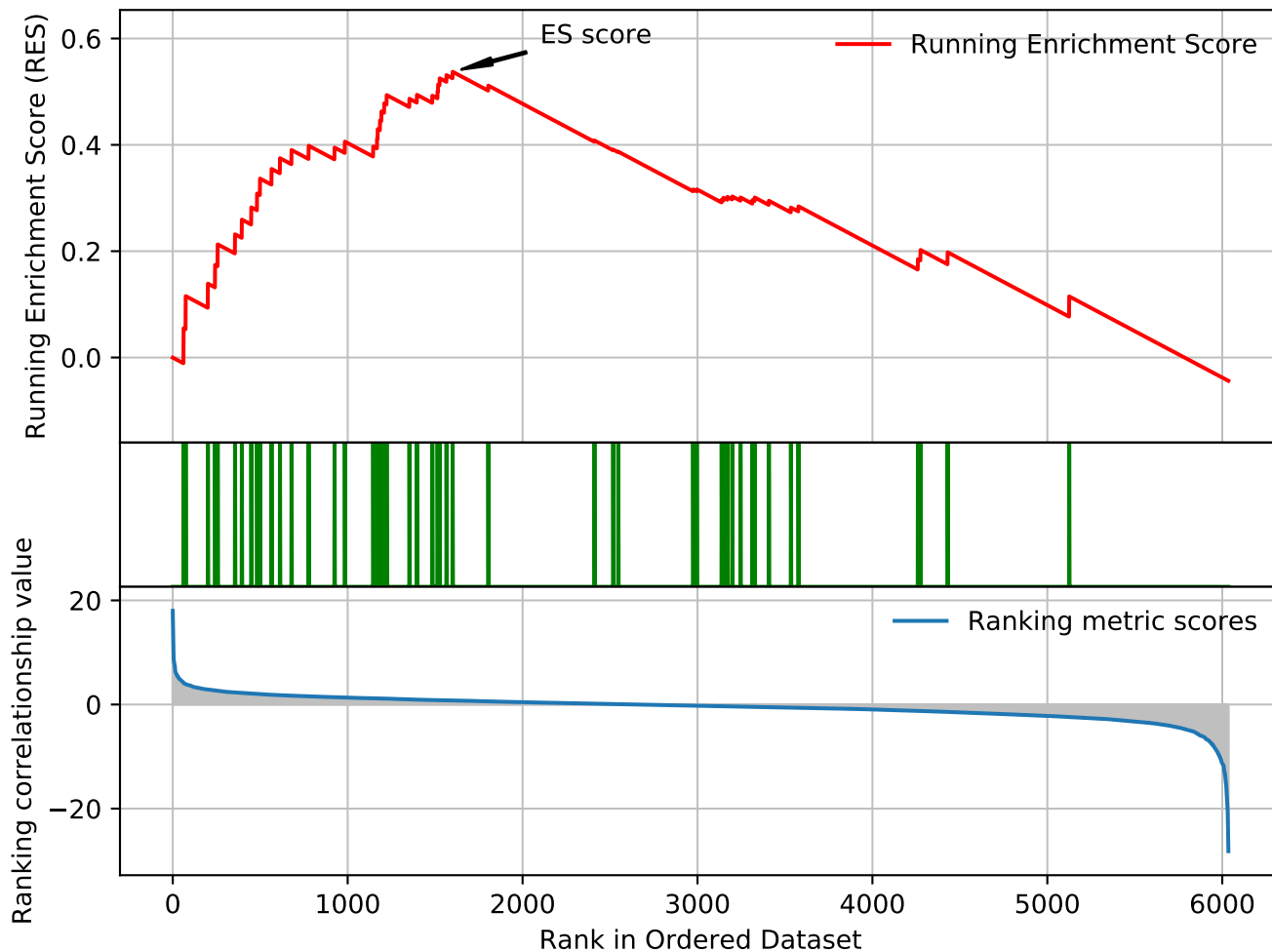
# AMB sce03430 (Mismatch repair) GSEA\_Results



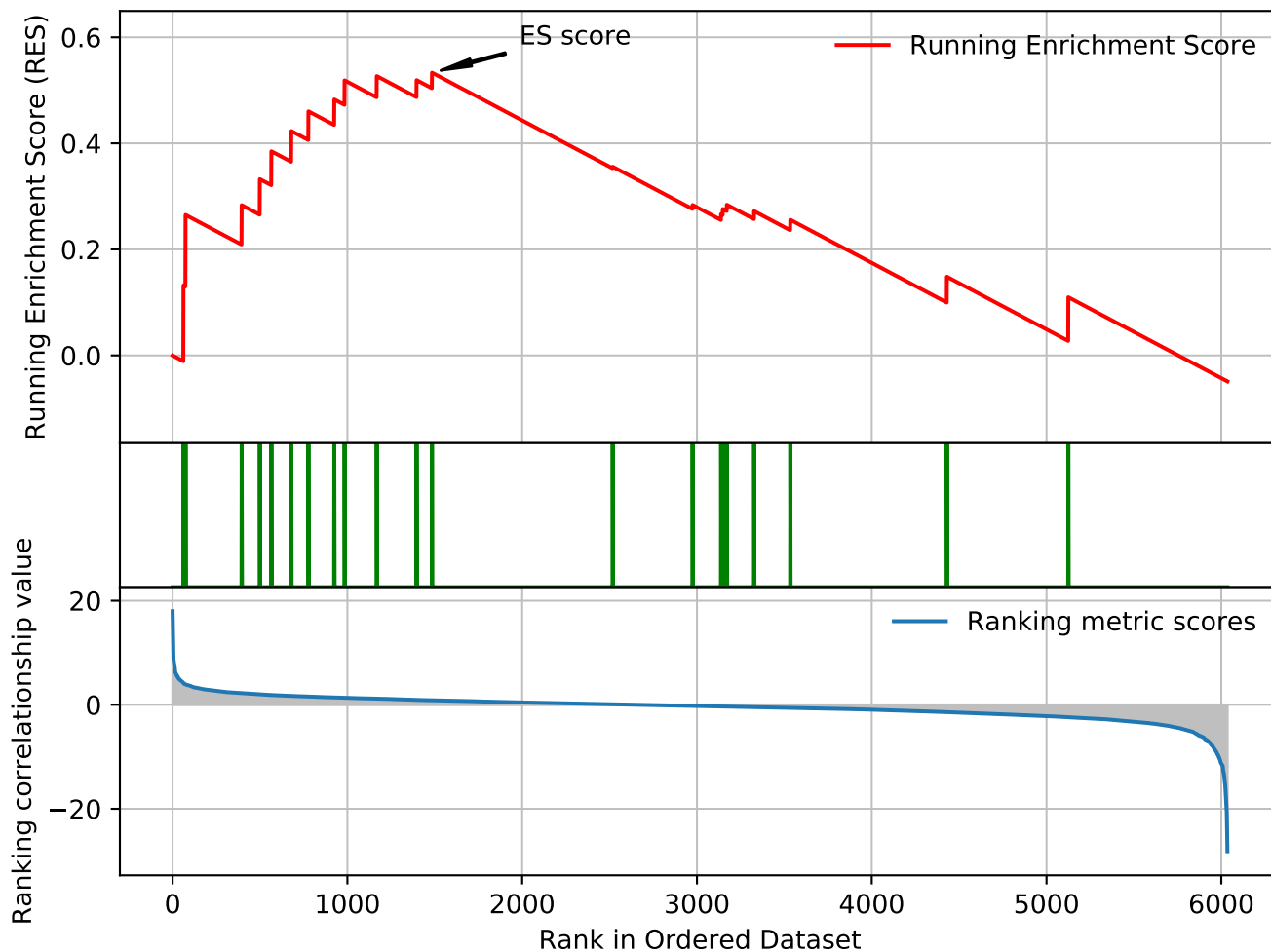
# AMB sce03008 (Ribosome biogenesis in eukaryotes) GSEA\_Results



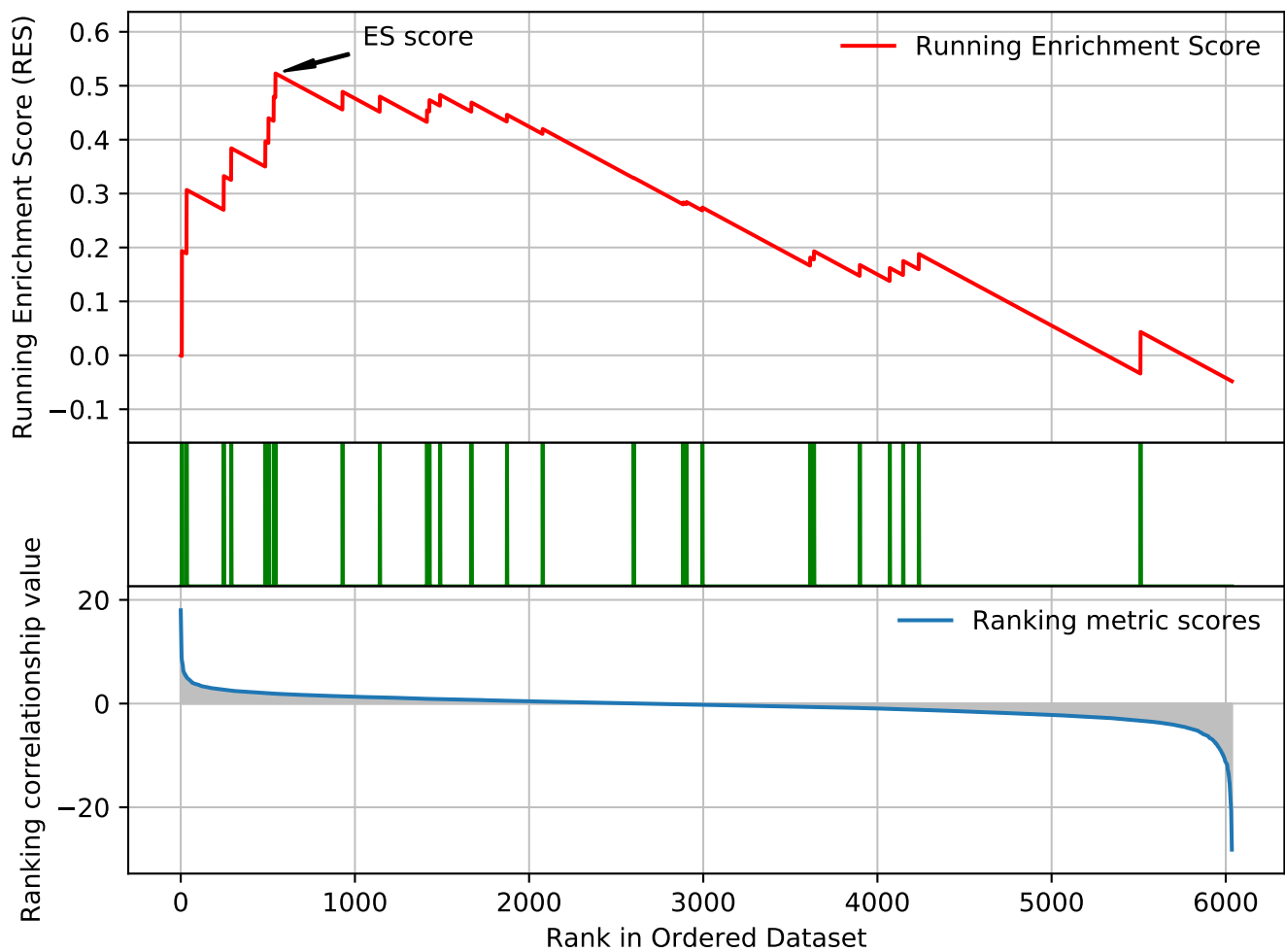
# AMB R-SCE-69306 (DNA Replication) GSEA\_Results



# AMB R-SCE-69190 (DNA strand elongation) GSEA\_Results

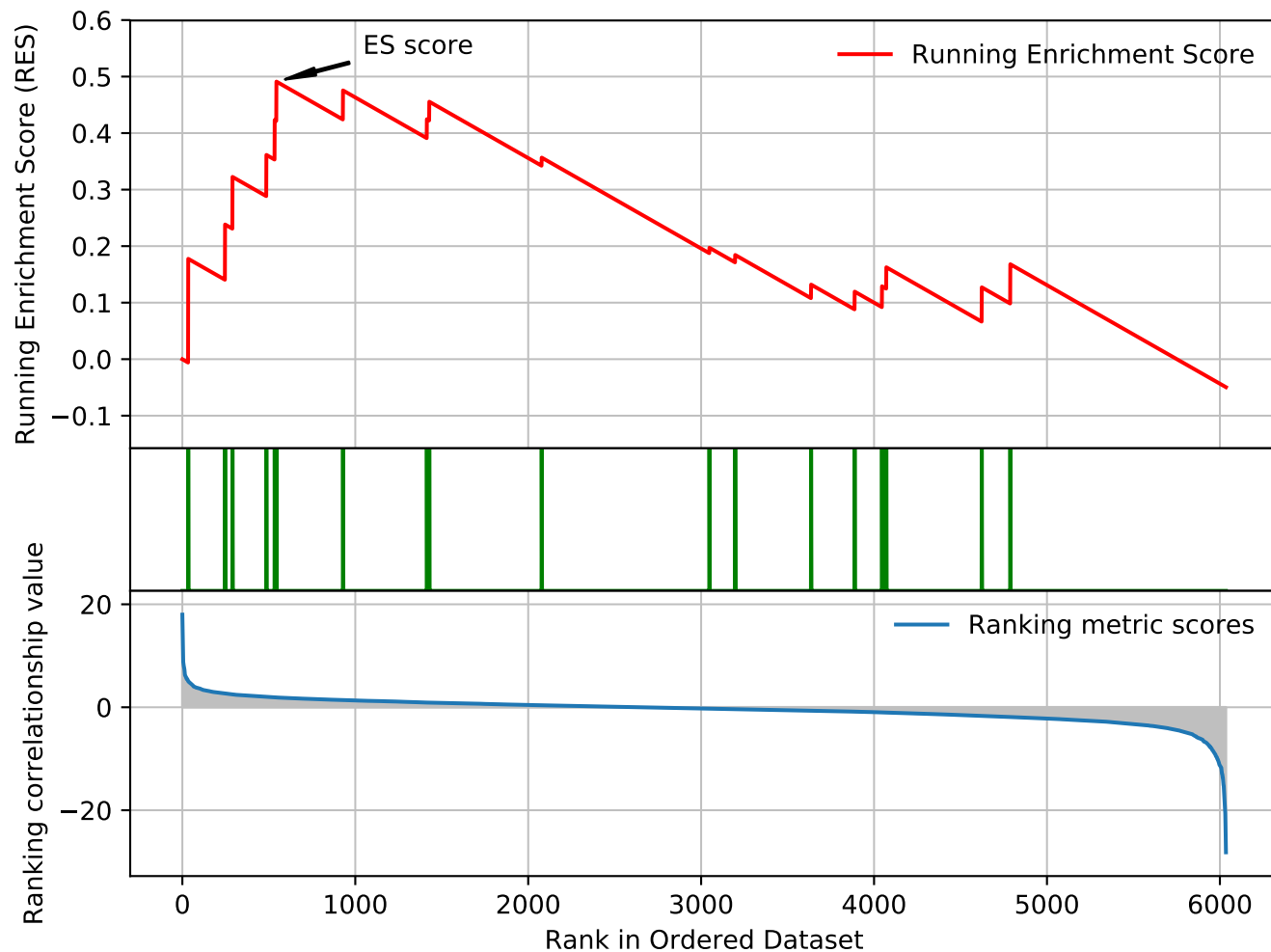


AMB R-SCE-429914 (Deadenylation-dependent mRNA decay) GSEA\_Result

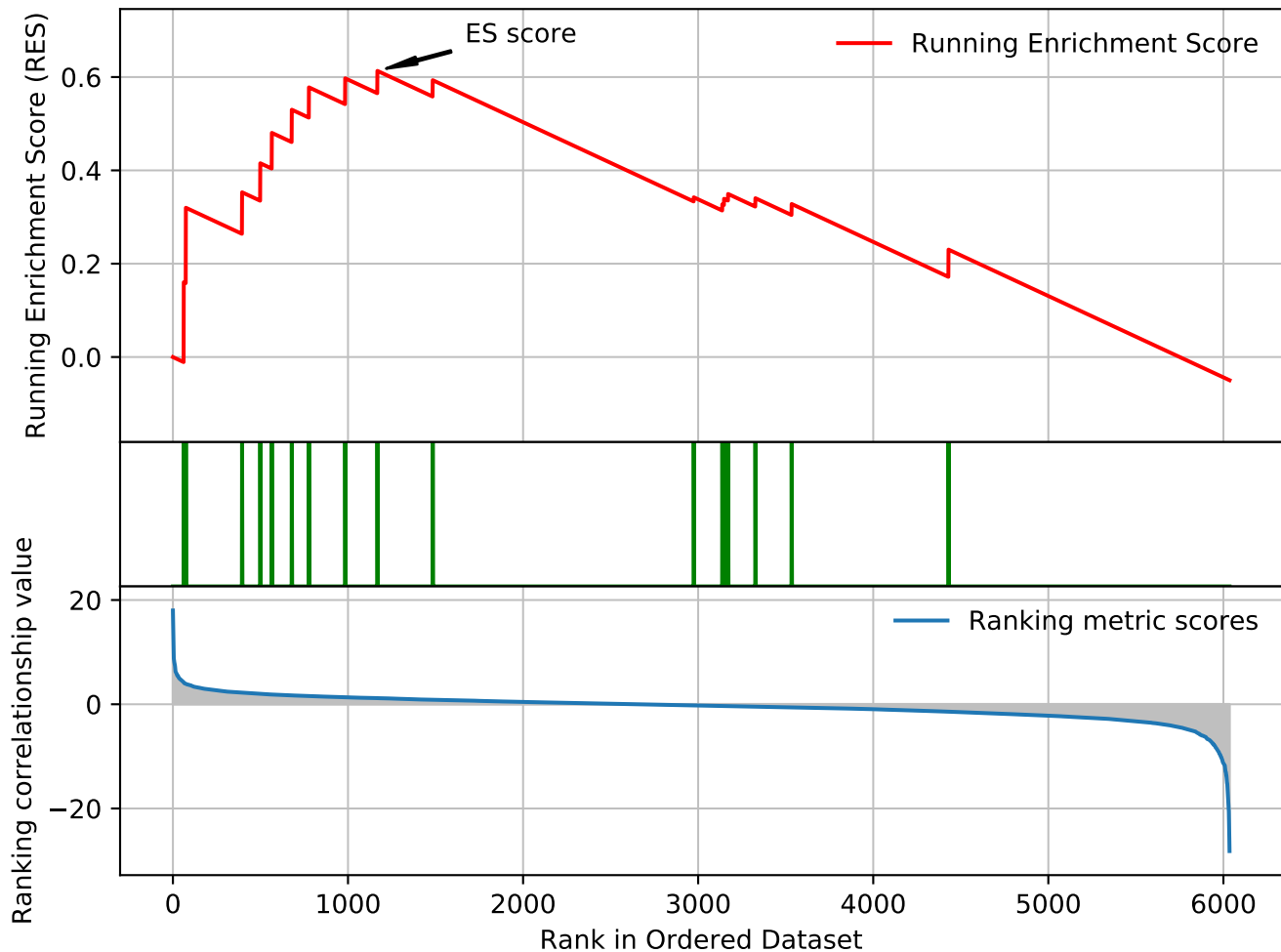




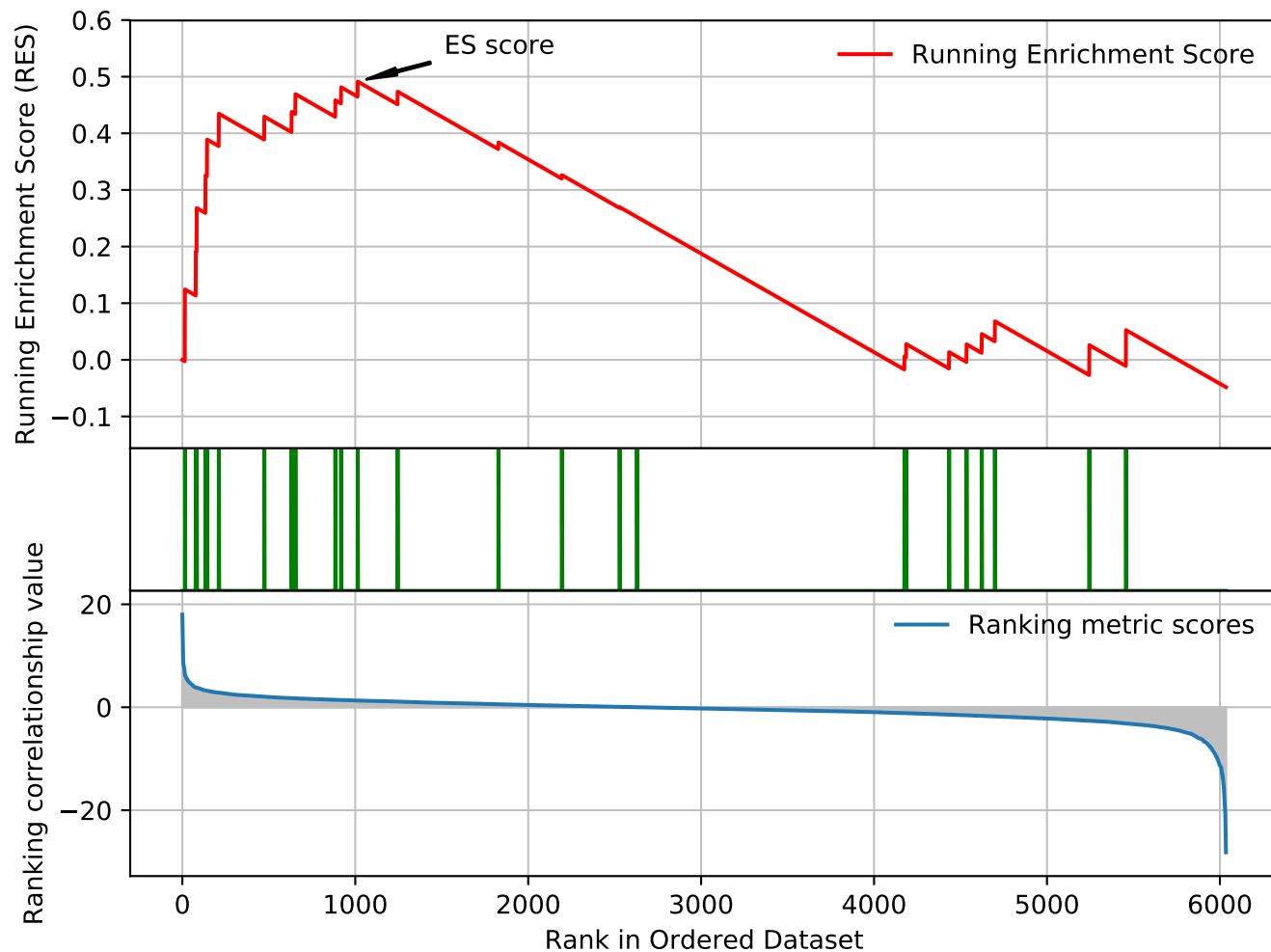
# 450385 (Butyrate Response Factor 1 (BRF1) binds and destabilizes mRNA) G



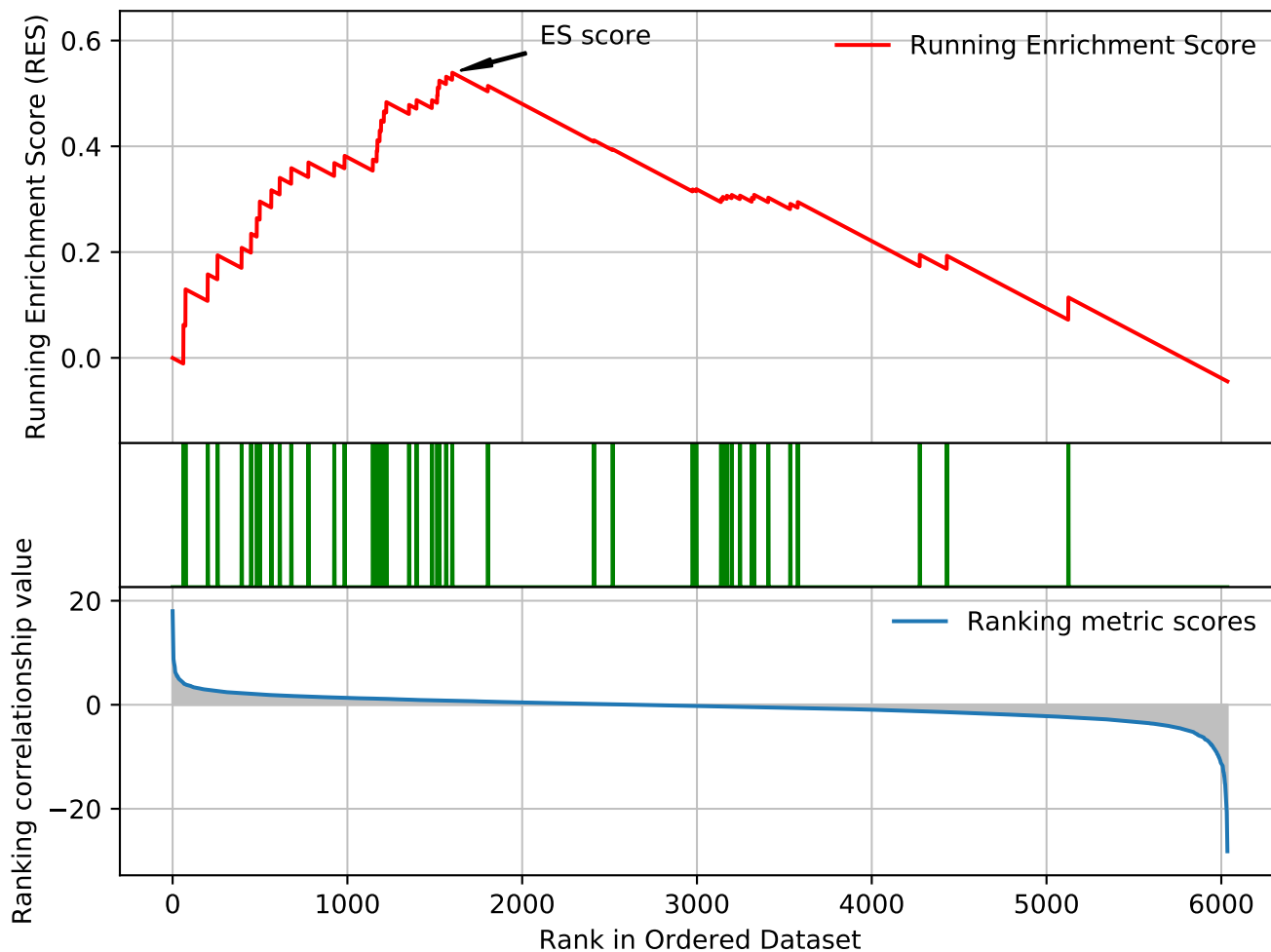
# AMB R-SCE-69186 (Lagging Strand Synthesis) GSEA\_Result



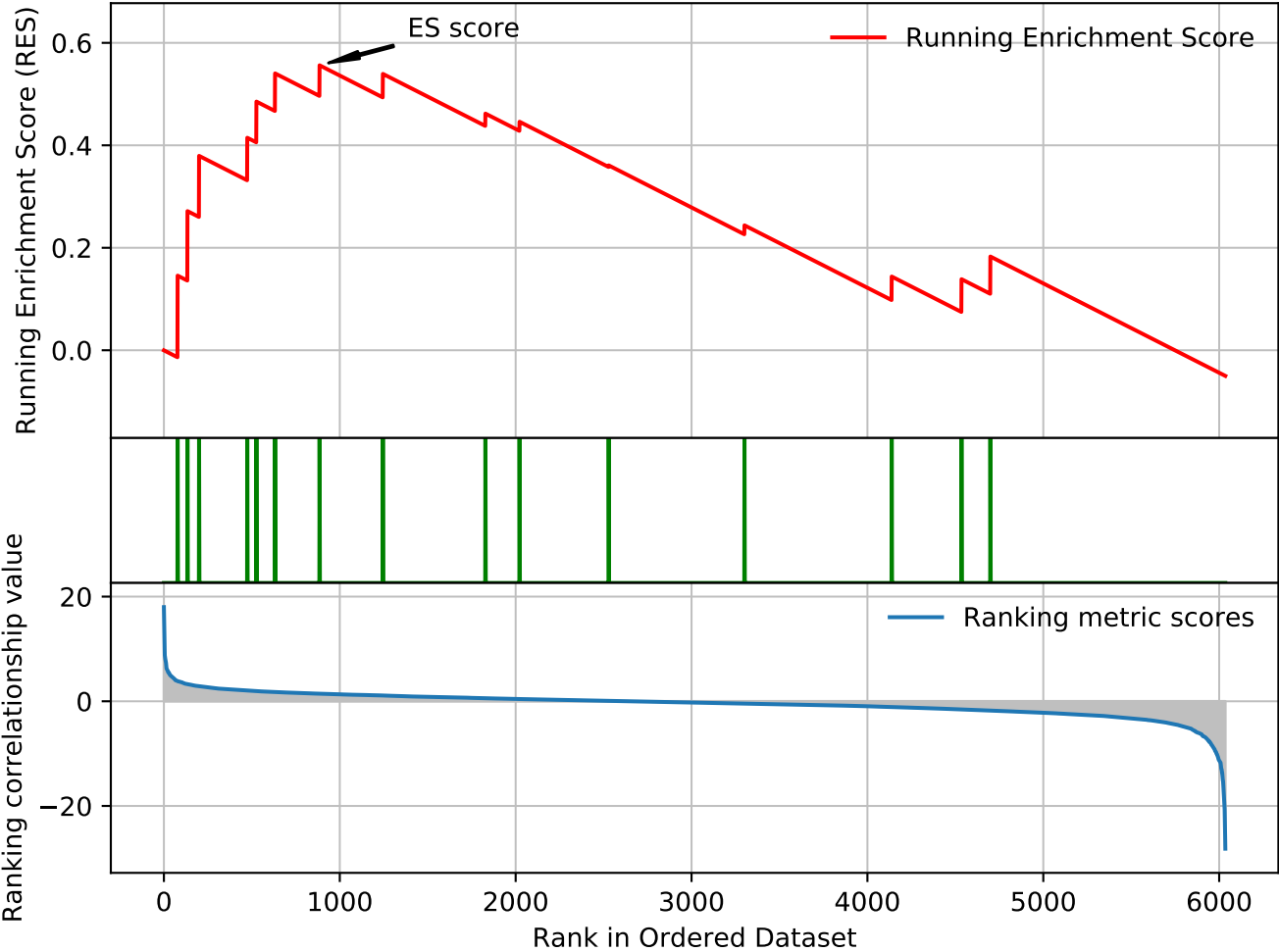
# R-SCE-3371453 (Regulation of HSF1-mediated heat shock response) GSEA\_R



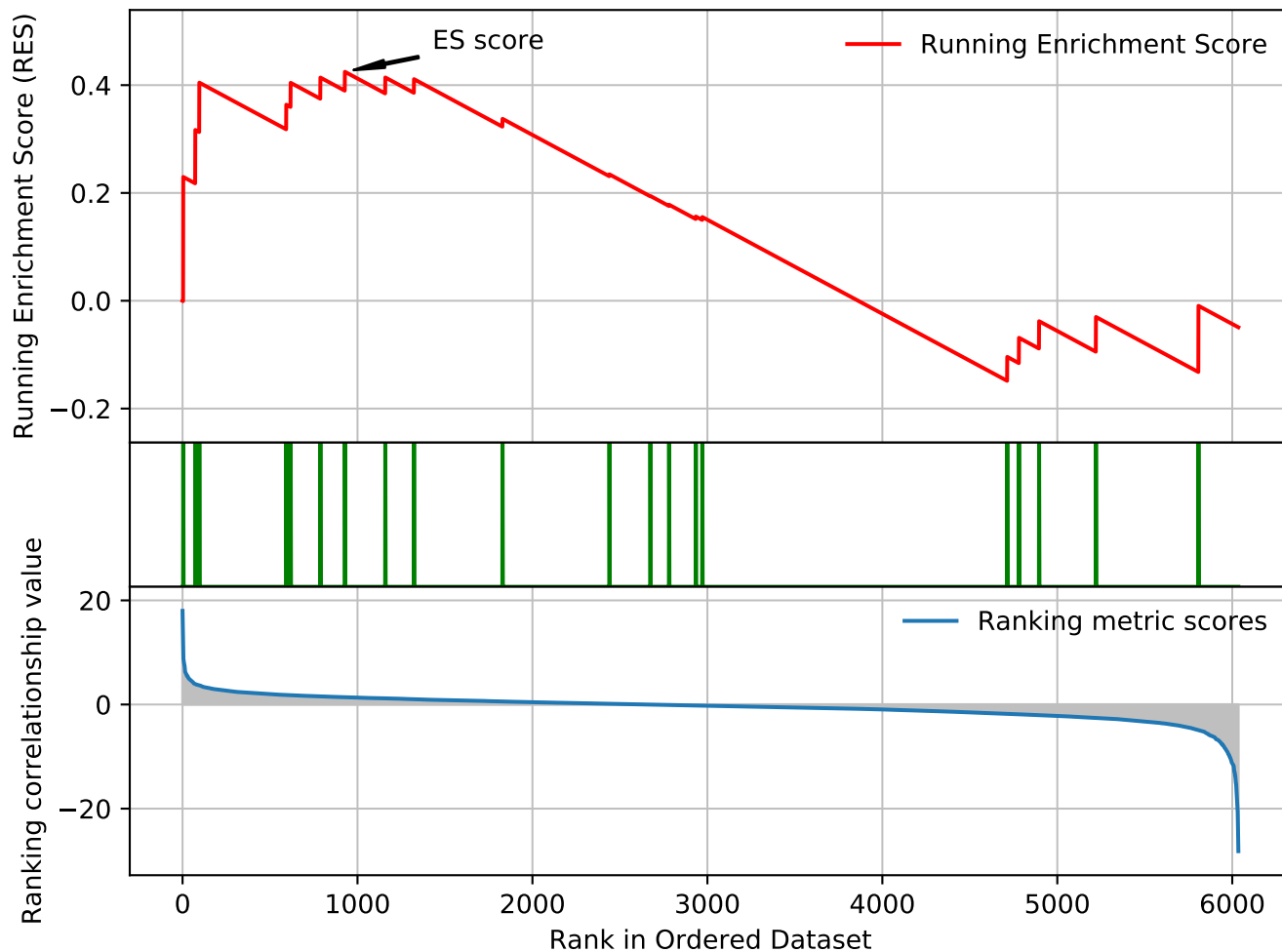
# AMB R-SCE-69239 (Synthesis of DNA) GSEA\_Result



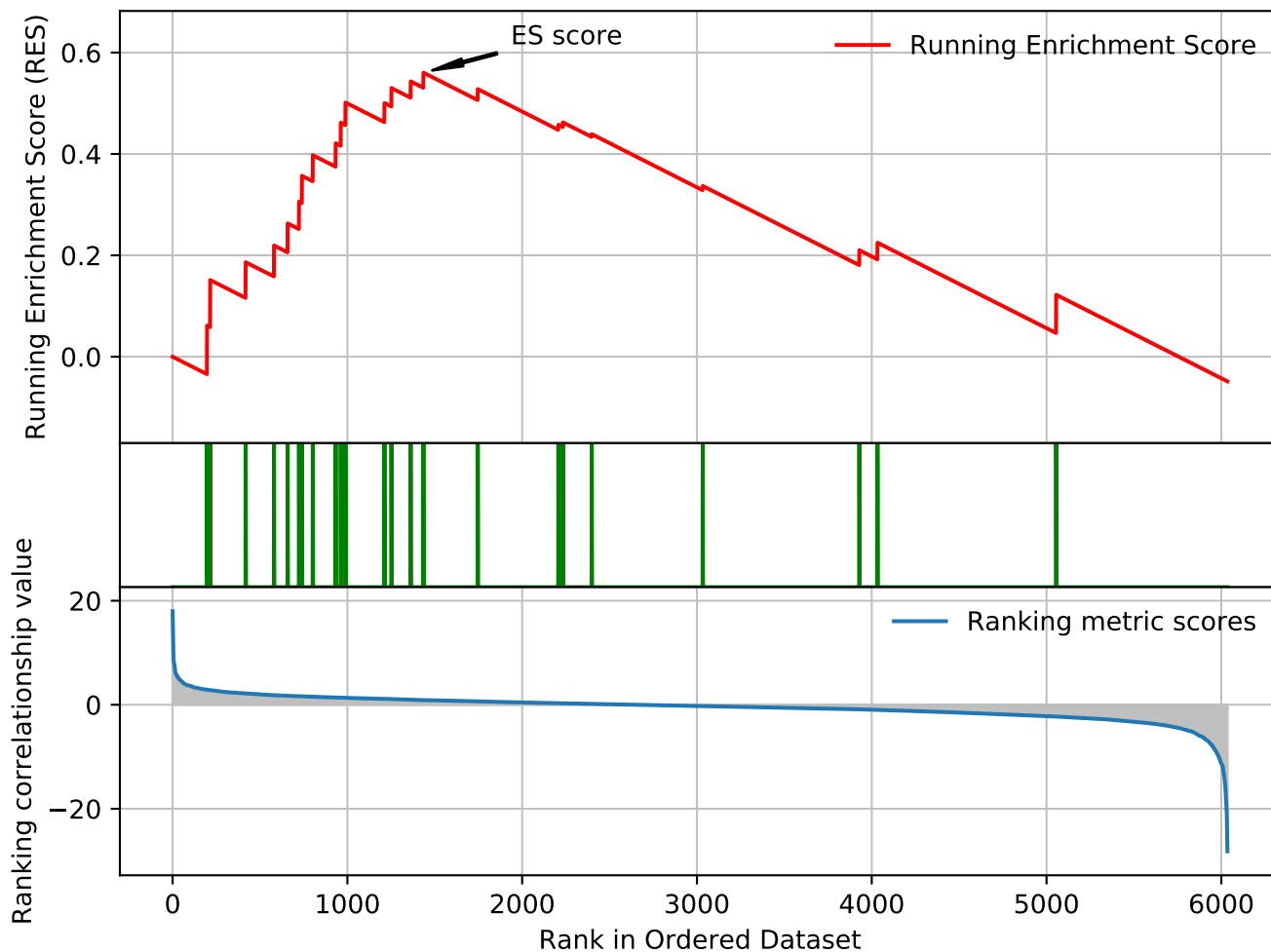
AMB R-SCE-3371571 (HSF1-dependent transactivation) GSEA\_Result



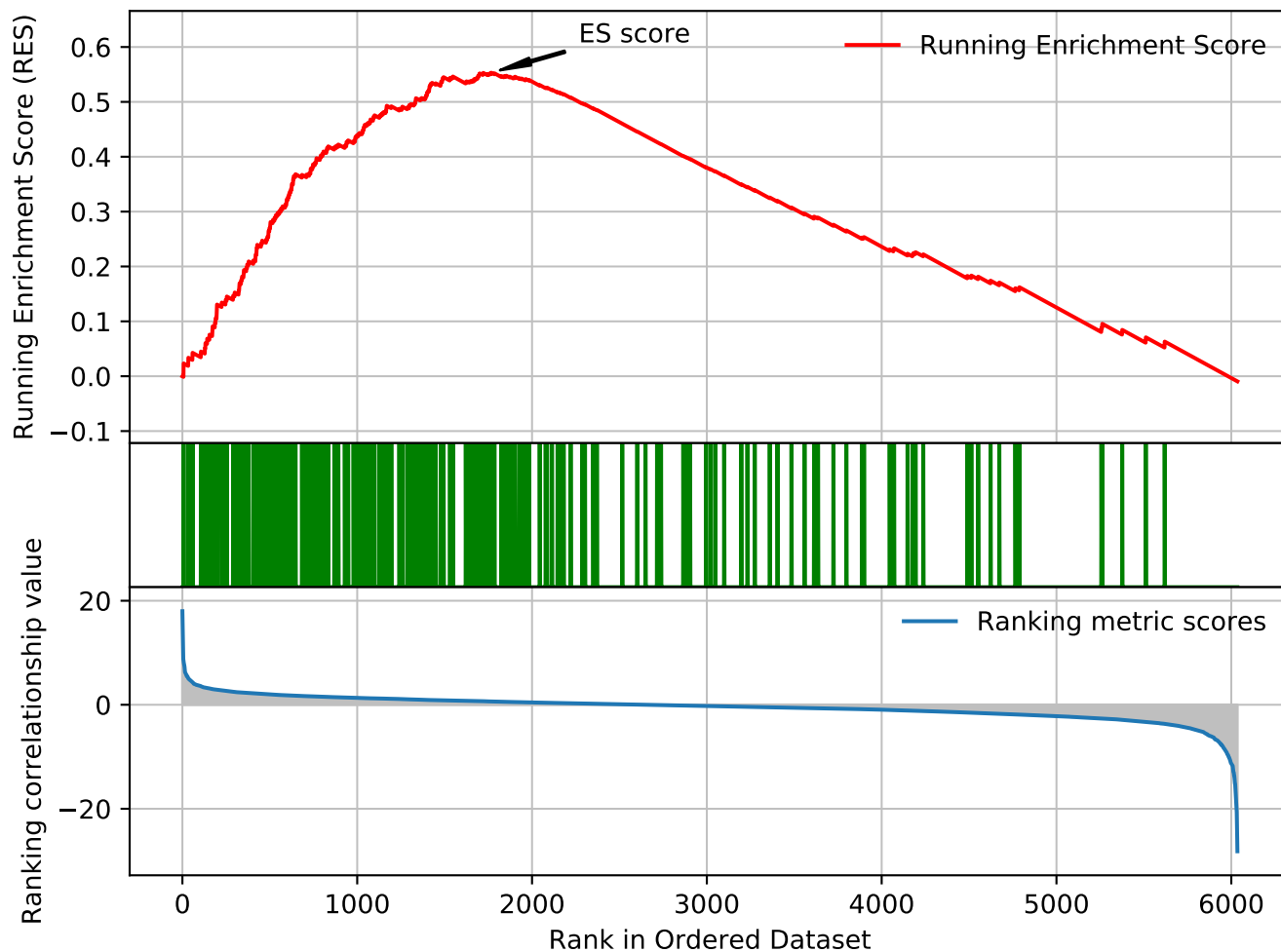
# AMB GLUCONEO-YEAST-PWY (gluconeogenesis) GSEA\_Result



# -76066 (RNA Polymerase III Transcription Initiation From Type 2 Promoter) G

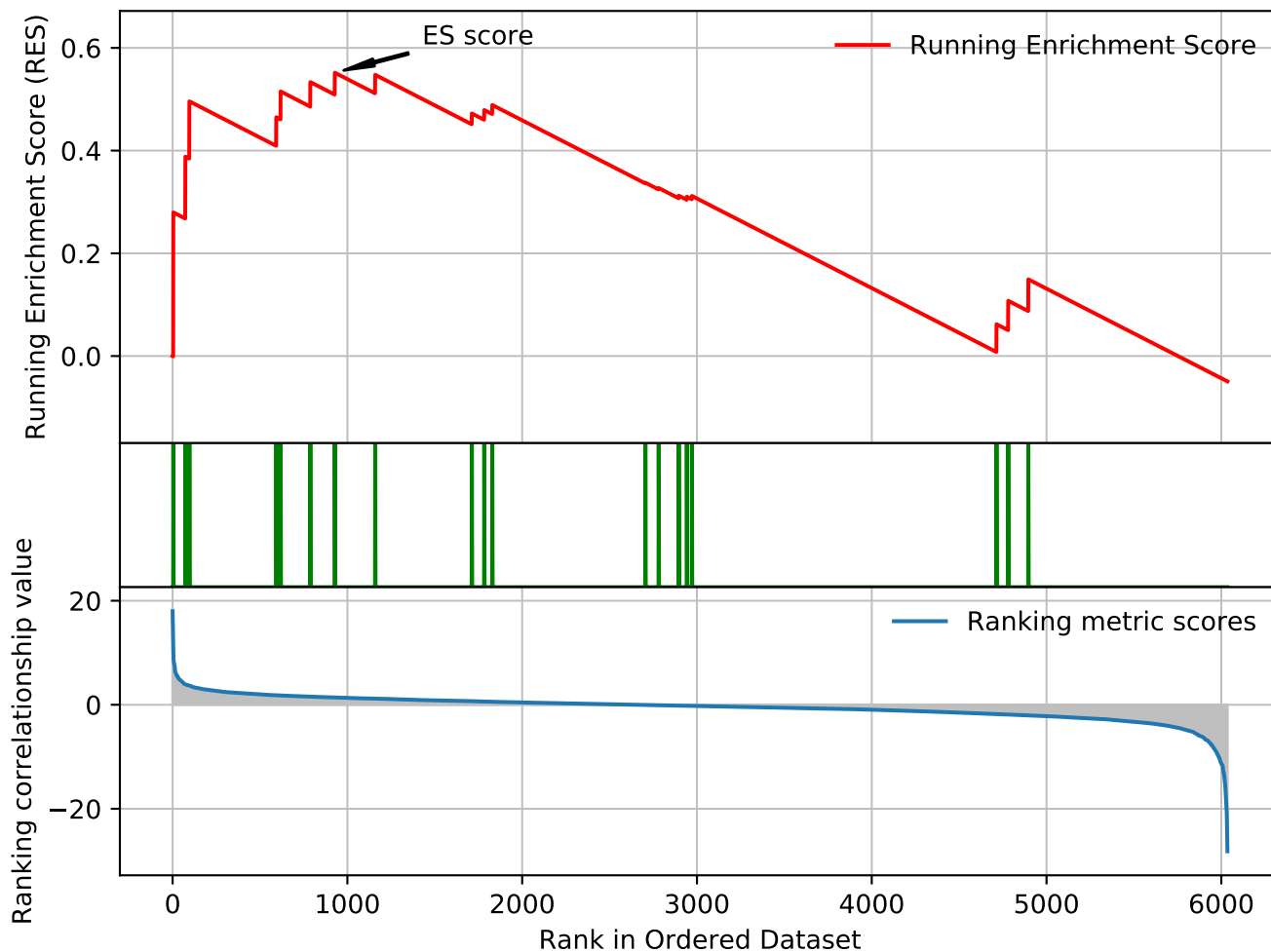


# AMB R-SCE-8953854 (Metabolism of RNA) GSEA\_Result

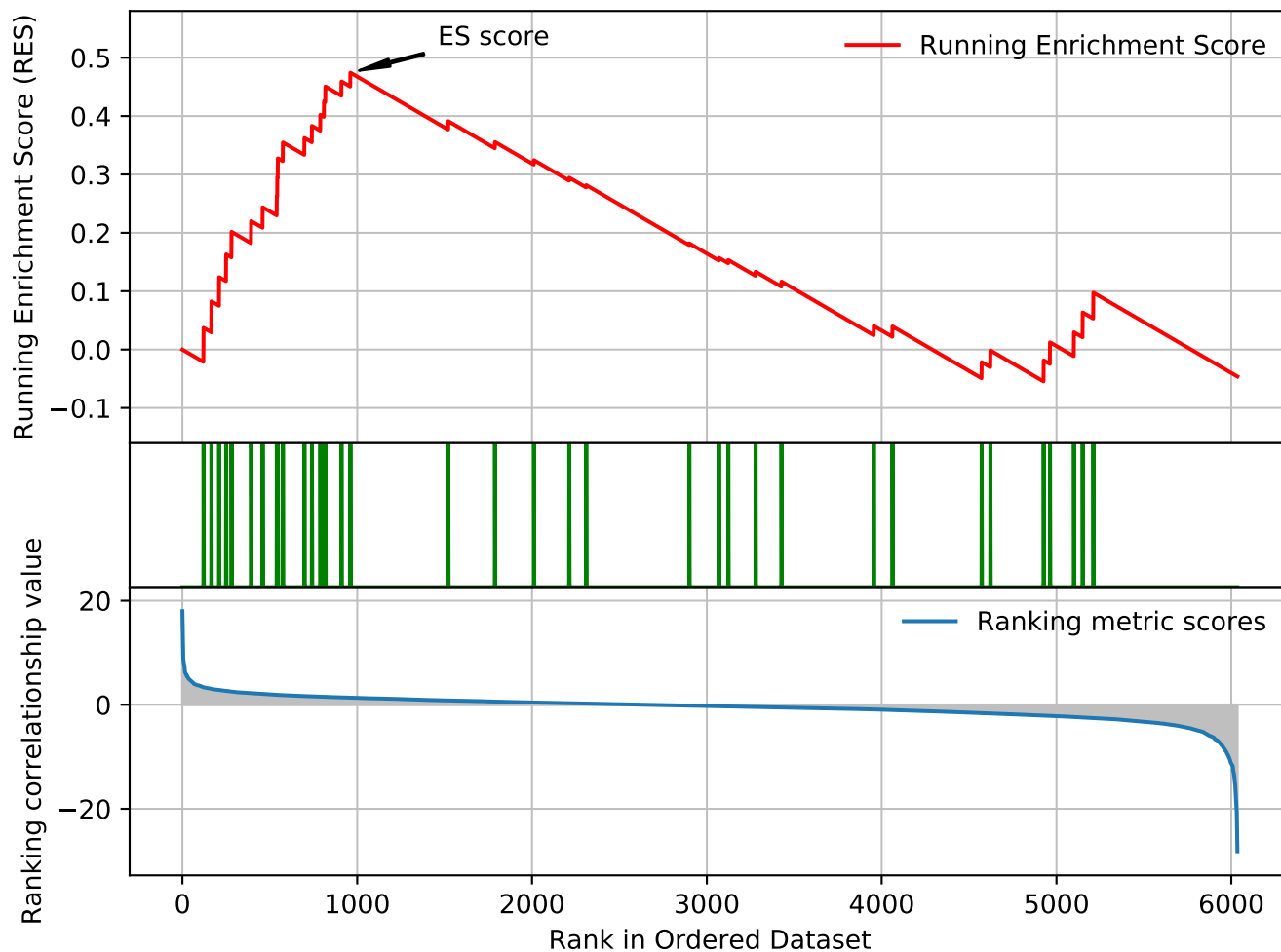




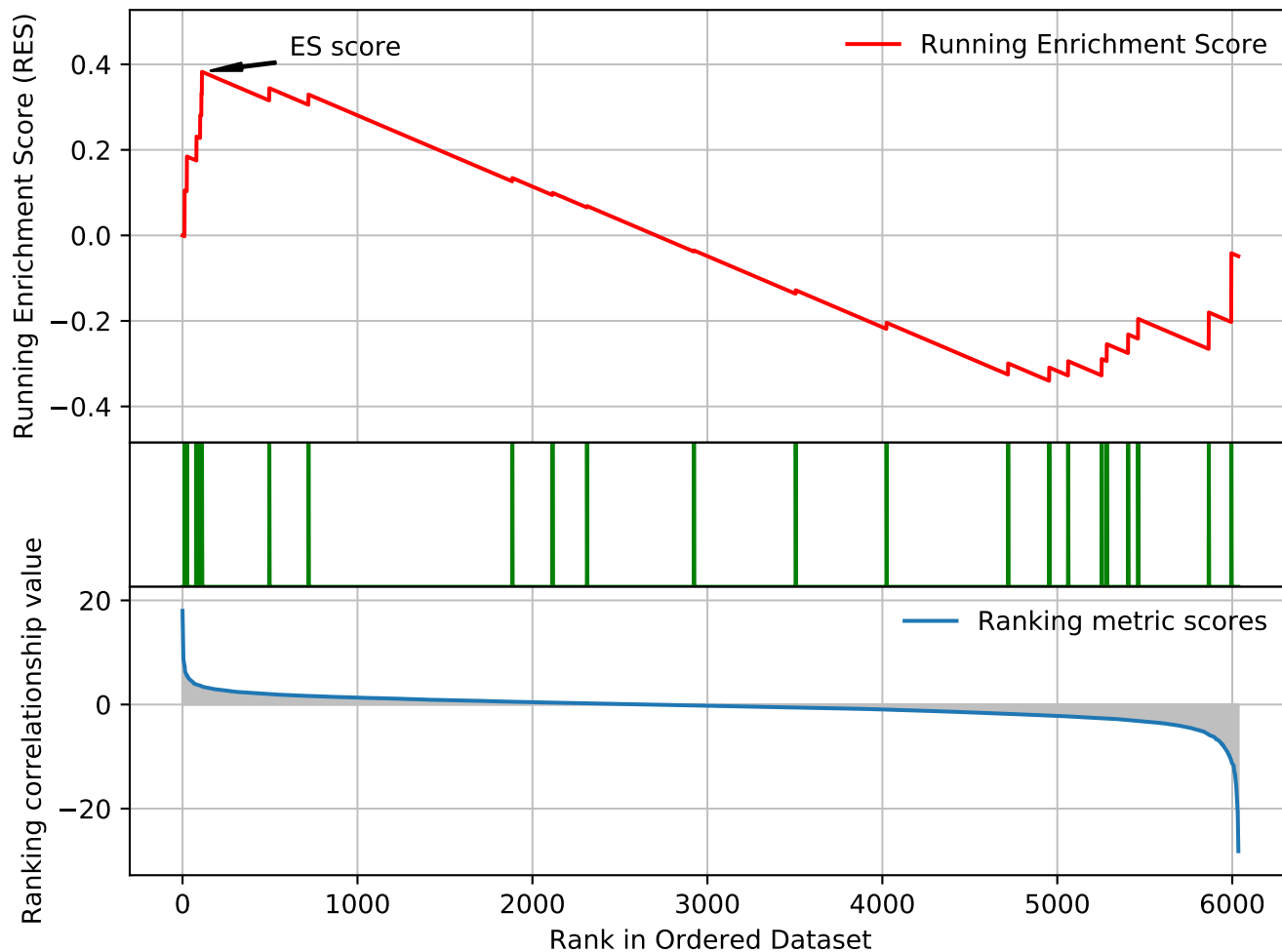
# AMB GLYCOLYSIS-YEAST-PWY (glycolysis) GSEA\_Result



# AMB R-SCE-15869 (Metabolism of nucleotides) GSEA\_Result



# AMB R-SCE-211859 (Biological oxidations) GSEA\_Result



# -76061 (RNA Polymerase III Transcription Initiation From Type 1 Promoter) G

